

九州大学

正員

小坪 清真

学生員

○鳥野 清

〃

中野 賢一

1. すえがき

近年、土木構造物の分野に於いて、特に橋梁の規模は年々長大化されつつある。その中でも、現在建設中の関門架橋や、計画中の中国四国連絡橋など吊橋にその感が深い。

大体に於いて、単純支持橋や短スパンを有する橋梁の各支点が異なる地震波をうけた時の橋脚の応力は、従来 各次数のモードを重ね合せて求める Modal Analysis で適確な計算値が得られ 十分その適用性が確認されている。しかし、吊橋に於いてはまだ Modal Analysis の適用が確認されていないのが現状である。それは、吊橋がケーブルと塔との組み合わせによる複雑な挙動をするのが単に橋脚だけを考え計算をすればいいからである。

そこで、我々は吊橋の各支点が橋脚直角水平方向に異なる地震波をうけた場合の吊橋の応答解析に Modal Analysis が適用できるかどうかを調べるために、三径間連続桁を有する吊橋の模型実験を行つたのである。

本論はその実験の第一段階である吊橋の各次数の固有円振動数を求めた実験報告である。

2. 実験装置及びその概要

a. 材料

アルミ版 (厚さ3mm)、真ちゅう棒 (7mm角) → 行用

釣用フロワー (メインロープとハンガー用)

鉄筋 (中22mm 錘り用), (中9mm タワー用)

ペアリング (メインロープの支え用と支点用)

板バネ (支点Aに於いて外乱を加えられるように)

コンクリート (タワー、支点の基礎用)

接着材 (アラルトイト)

図-2 滯面図

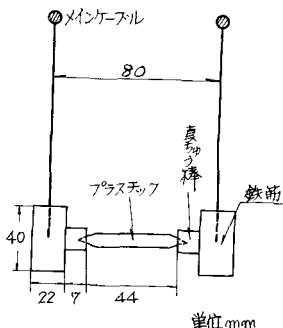
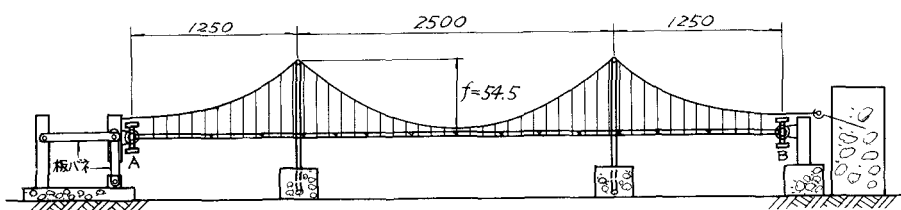


図-1 吊橋全図

単位 mm



b. 概要

まず、各支点が移動しづらいようにコンクリートで固めて、位置を決定し、次にメインロープを荷重が一樣にかかると放物線になるようにしなければならない。スパン長とすが分つてから、放物線が決る。そこで、計算によつて橋桁上で丁度ハンガーの間隔が10cmになるよう、メインロープの曲長と、ハンガーの長さを求める。そうして求めた長さにハンガー用の釣用ワイヤーを切り、長さ4cmに切った中22mmの鉄筋の上面に穴を開け、そのワイヤーを接着しておき、それをハンタでメインロープに接着して。その下にレバーロープが放物線に沿つた後、ハンガーの長さの補正を行へ、軸を鉄筋の鍔に接着して。

初め、軸として、アルミニウム板を軸高4cmに切つて、左右方向にだけ回転する支承にはめ込んだのであるが、その結果は思わしいものではなかった。その原因として、橋桁の剛性が横に比べて縦の方が大きすぎたし、又、支承が左右方向にしか回転を止められ、ケーブルとハンガーの影響で、軸が上下方向へ動くのを拘束してと考えられた。そこで、支承を図-3のようにいずれの方向にも回転を除るよう改良し、橋桁の方は7mm角の真ちゅう棒に代えた。

又、左右の軸が一体となって動くように、真ちゅう棒に小さな穴を開け、プラスチックの下敷を切つて図-2のように接着剤で接着して。支点Aは、外乱を加えて応答を求める時、動けるように、水平方向に動く板バネを使用してある。メインロープのすべりがよくなるよう、タワー上では、バリアンクに溝を入れてキャップをかぶせ、その上にメインロープをかけた。

ほとんどの場所に接着剤（アラルダイト）を使用したが、固まるのに1日程度かかる以外、十分耐えうる強さがあつた。

3. 実験概要

a. 実験器具

Strain Meter (共和 DPM-6AT)

増巾器、アリッジボックス

発振器 (NF回路設計ブロック)

フォトコーター (横洞) 、

マグネット

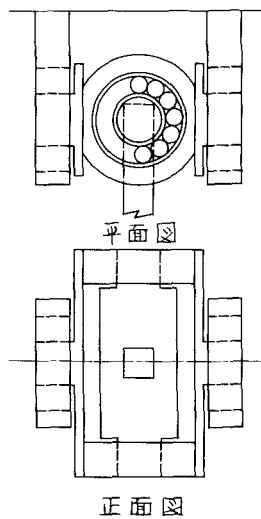
ドージ (共和 KB-A1)

b. 概要

ドージを橋桁の図-1のX印の位置 (13ヶ所) の片側軸の両側に、合計26枚を張り付けた。

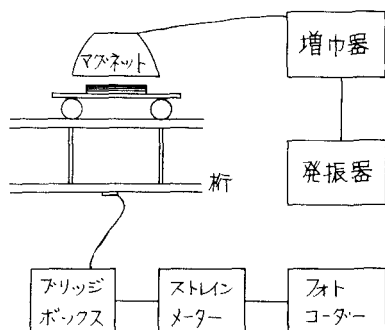
その場所は、側スパンの1/2, 3/4点と、中央スパン

図-3 支点



正面図

図-4 実験装置



の1/2, 3/4, 1/4, 1/2, 3/4, 1/8, 7/8共とタワーの間に2ヶ所である。

吊橋の固有振動数を求めるために、マストネットを中心スパンの1/3, 1/4, 1/2点に据えて、発振器で低サイクルから徐々に上げていくと、共振が発現して振動をはじめる。

その振動中で、最大のひずみがある時を図-4に示してある要領でオトコーダーを記録した。

但し、これらの実験では支点Aを固定してある。

オトコーダーの記録から読みだ各次数の固有円振動数が表-1である。

4. 理論計算

計算に使用した夏チャウ桟の弾性係数Eの測定は60cmの1端固定片持ち梁を作り、これにケーブルを張って自由振動させた時の固有周期を実測して求めた。

吊橋の固有周期算定にはエネルギー法を用いたが、この場合 支点に於けるひずみが小さい振動は、単に中央スパンが单纯梁であるとみて計算してみた。

吊橋の垂エネルギーは次式で表わせる(図-5参照)

$$V = \frac{EI}{2} \int_0^l \left(\frac{du}{dx} \right)^2 dx + \frac{Hw}{2} \int_0^l \left(\frac{du}{dx} \right)^2 dx + W_c \int_0^l \eta_1 dx + W_f \int_0^l \eta_2 dx \\ = \frac{EI}{2} \int_0^l \left(\frac{dv}{dx} \right)^2 dx + \frac{Hw}{2} \int_0^l \left(\frac{du}{dx} \right)^2 dx + \frac{W_f}{2hm} \int_0^l (v-w)^2 dx + \frac{W}{2(f-hm)} \int_0^l u^2 dx \quad \dots (1)$$

但し v は弦、 u はケーブルの変位である。

ケーブルの伸びを無視すると

$$\eta_1 = \frac{u^2}{2y} \quad \eta_2 = \frac{u^2}{2y} + \frac{(v-w)^2}{2h} \quad \text{とおける}$$

E: 桟の弾性係数 Hw: ケーブルの張力

I: 桟の断面2次モーメント

Wc: ケーブルの単位長さ当たり重量

Wf: 桟の単位長さ当たり重量

$$W = W_f + W_c \quad hm = f \left(\frac{1}{3} - \frac{2}{\pi^2} \right)$$

一方、運動エネルギーは η_1, η_2 が u, v に比べて高次の微少量であるので無視すると

$$T = \frac{\omega^2}{2g} (W_f \int_0^l v^2 dx + W_c \int_0^l u^2 dx) \quad \dots \dots \dots (2)$$

但し、 ω は固有円振動数

ここで変位の仮定を対称形の時は

$$v = a \sin \frac{m\pi}{l} x$$

$$u = b \sin \frac{m\pi}{l} x + (b-a) \sin \frac{m+2}{l} \pi x$$

図-5

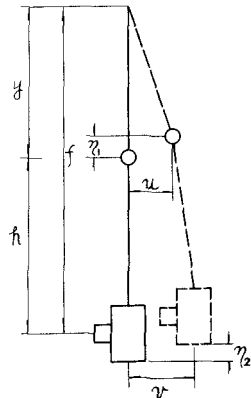


表-1 固有振動数(水平)

次 数	実験		計算 %
	%	%	
対 称 形	1	1.36	1.33
逆 対 称 形	2	9.09	7.96
	3	23.81	21.54
	4	45.45	42.15
対 称 形	1	3.37	3.64
	2	5.42	
	3	13.61	13.85
	4	31.81	30.84

相レ

$$l\text{は中央スパン長} \quad m = 1, 3, 5, 7$$

又、逆対称形の時は中央スパンがモードの節に当るのを

$$U = a \sin \frac{m\pi}{l} x$$

$$U = b \sin \frac{m\pi}{l} x \quad m = 2, 4, 6$$

と仮定して Ritz の方法により振動方程式を求めた。

$$E = 9.334 \times 10^5 \text{ kg/cm}^2 \quad I = 0.02 \text{ cm}^4 \quad l = 250 \text{ cm}$$

$$W_0 = \frac{W_0^2}{8f} = 2.268 \text{ kg} \quad W_c = 4.1 \times 10^{-5} \text{ kg/cm} \quad f = 54.5 \text{ cm}$$

$$W_f = W_A + W_c = 4.023 \times 10^{-3} + 11.76 \times 10^{-3} = 15.783 \times 10^{-3} \text{ kg/cm}$$

(鉛直)

$$W = W_c + W_f = 15.824 \times 10^{-3} \text{ kg/cm}$$

以上の諸値を振動方程式に代入して ω を求めた結果が表-1 の計算値である。

5. まとめ

表-1 をみると、大体に於て、実験値の方がサイクルが大きく立っている。それは、連続梁であるために、側スパンの影響があるからだとと思われる。

又、実験に立派な逆対称モードの 5.42 Hz はタワーの下の支点に大きくひずみが立つのが、これは連続梁の影響が大きく立派な例である。

本計算では、タワー下の支点を単純支持に近似して歪モードの振動についてだけ 計算を行ったが、さらに、連続桁についても固有振動数の数値計算を行つた。

吊橋の各支点が異なる地震波をうける場合の吊橋の応答を Modal Analysis で求めた場合には吊橋の固有振動数および振動型を高次まで用ひなければならぬのであるが、従来高次まで求めた例はない。

本研究は吊橋の地震応答解析の一步として先ず、その固有振動数および振動型をエネルギー法で求めた場合を示したもの、さらに厳密な解析法が要求される。この点については今後さらに研究を進める予定である。

参考文献

平井敦(鋼橋 III)